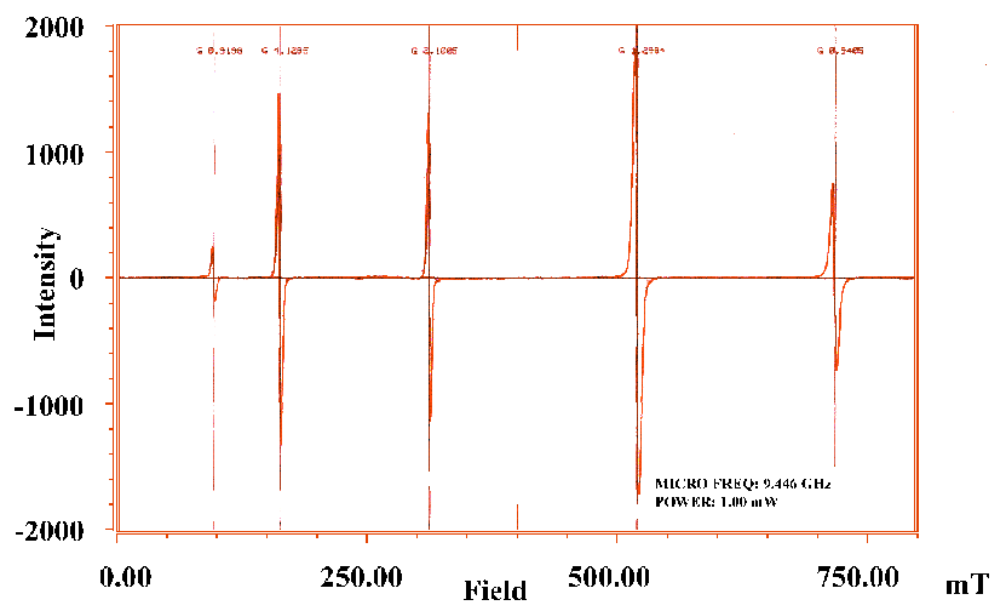
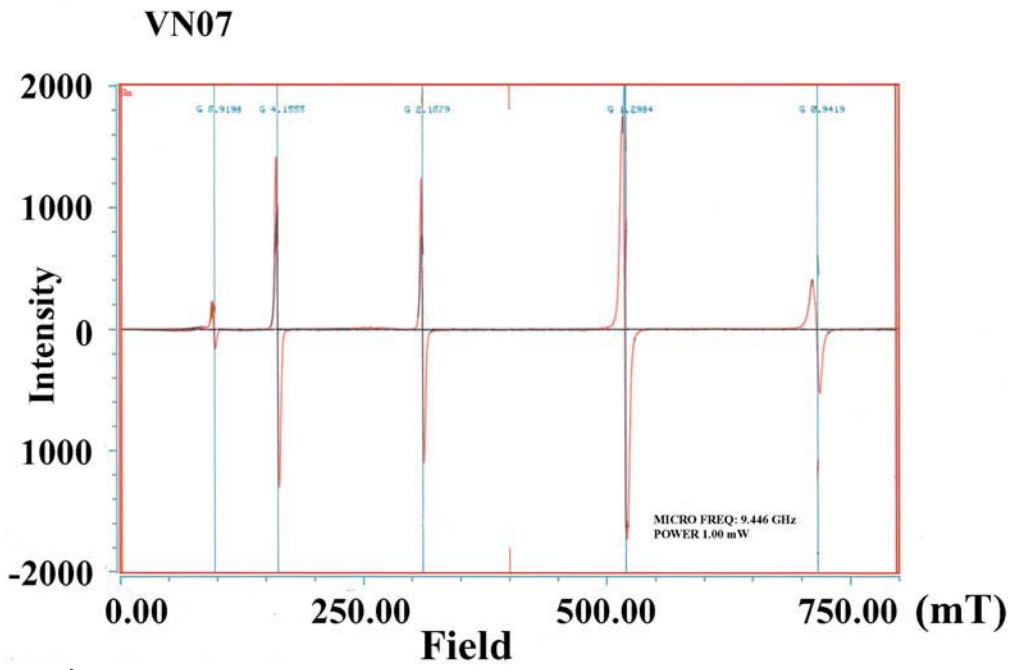
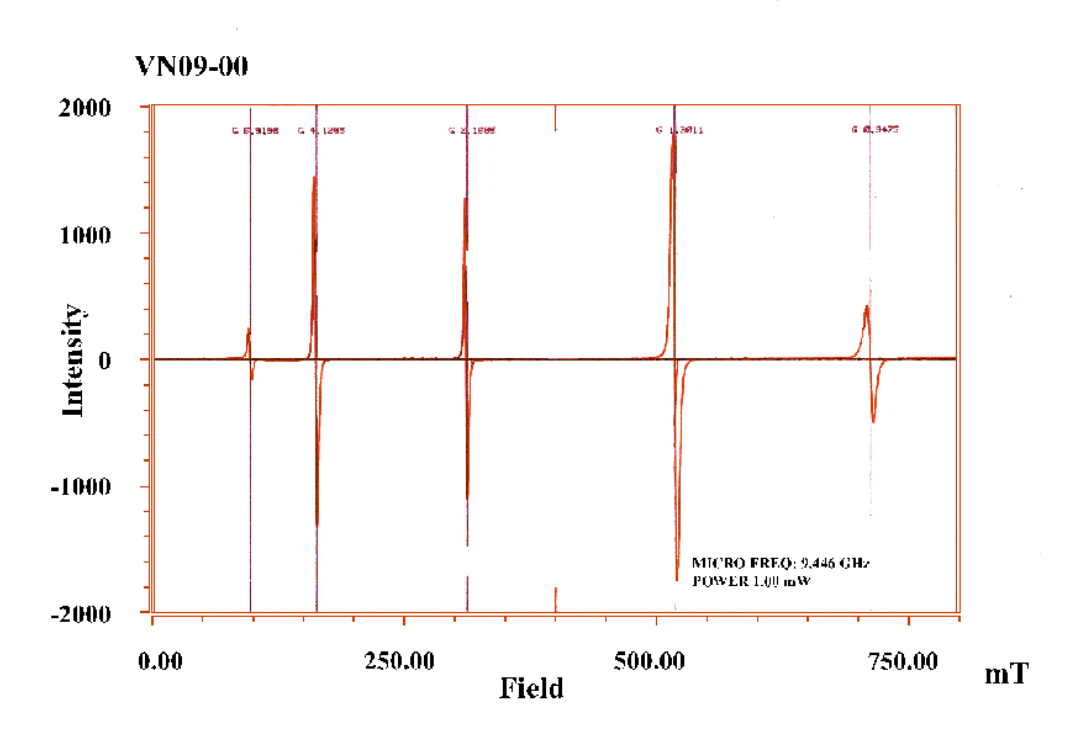
# VN05\_00



รูปที่ 47 แสดง ESR Spectrum ของผลึกทับทิมหลังเผา 1300  $^{\circ}$ C ในออกซิเจน สนามแม่ เหล็กตั้งฉากกับแกน c มุม  $oldsymbol{\phi}$  = 0 องศา (VN05\_00)

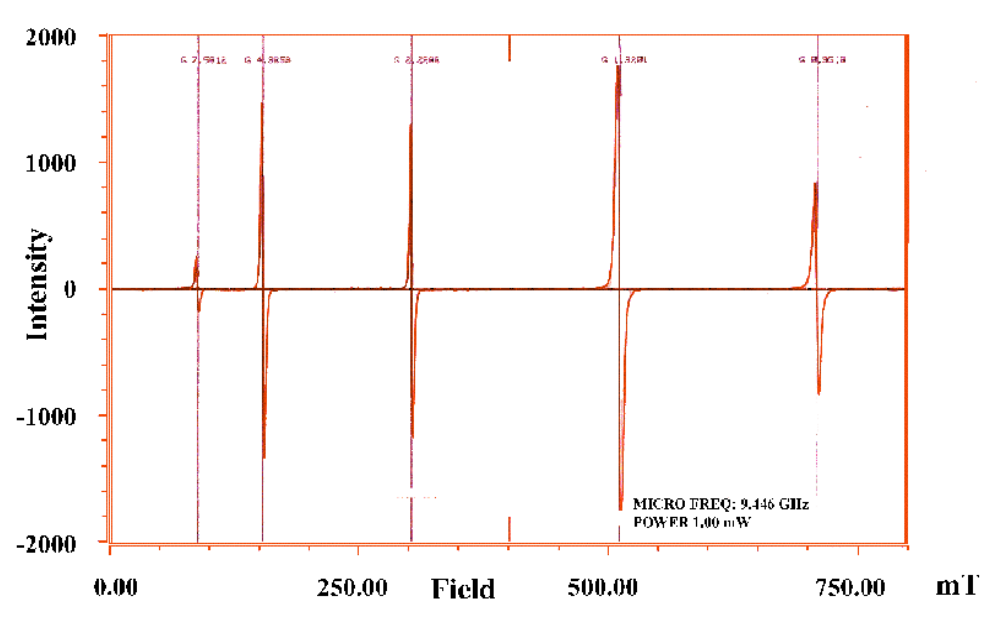


รูปที่ 48 แสดง ESR Spectrum ของผลึกทับทิมหลังเผา 1400 °C ในออกซิเจน สนามแม่ เหล็กตั้งฉากกับแกน c มุม  $oldsymbol{\phi}$  = 0 องศา (VN07\_00)

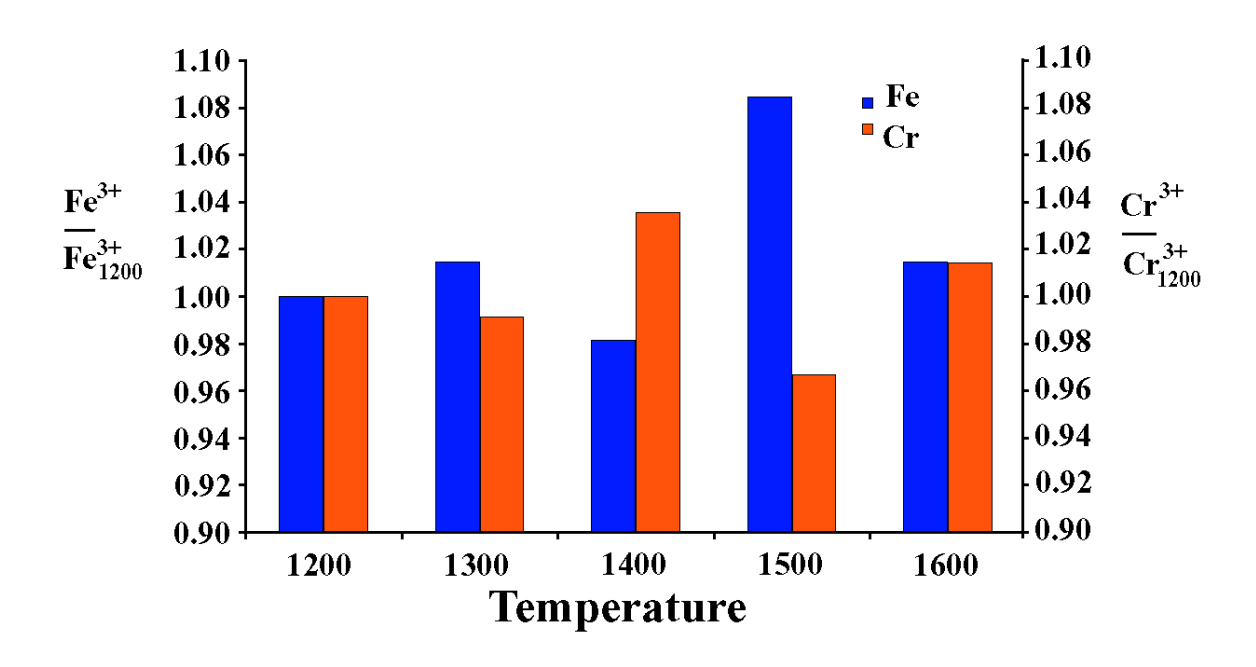


รูปที่ 49 แสดง ESR Spectrum ของผลึกทับทิมหลังเผา 1500 °C ในออกซิเจน สนามแม่ เหล็กตั้งฉากกับแกน c มุม **φ** = 0 องศา (VN09\_00)

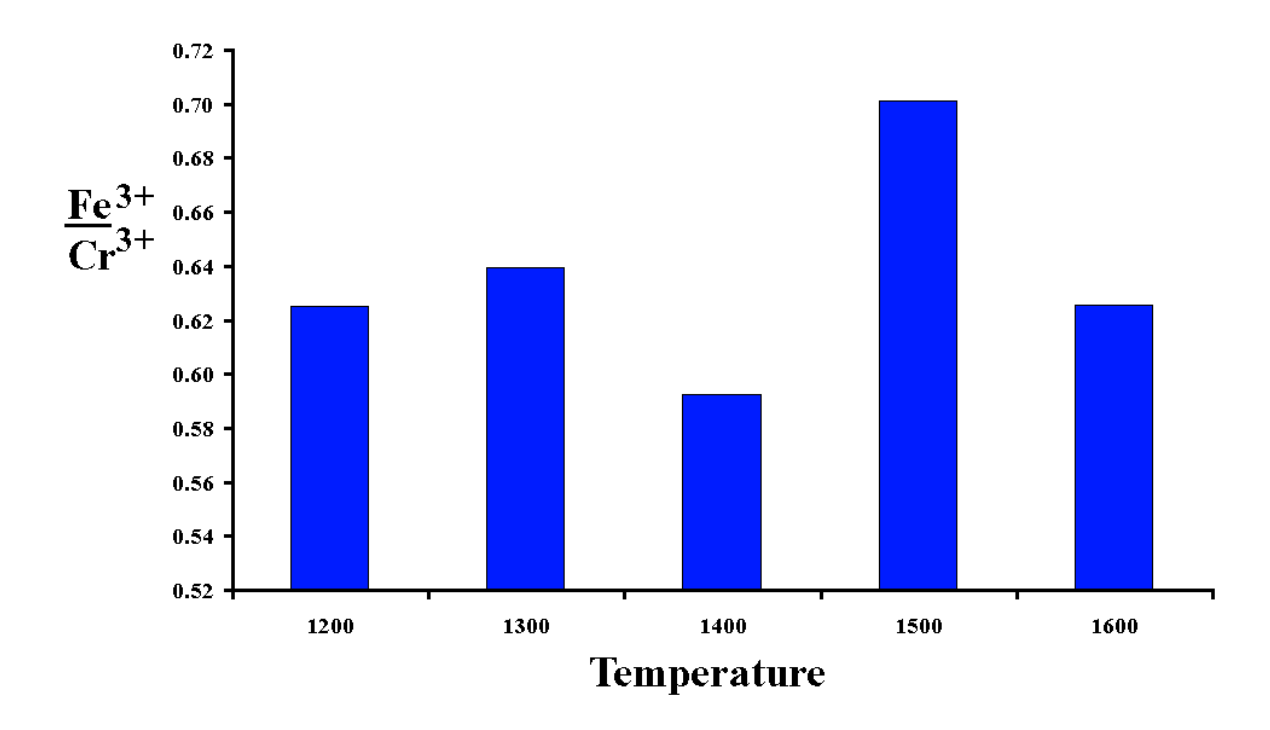
### VN11-00



รูปที่ 50 แสดง ESR Spectrum ของผลึกทับทิมหลังเผา 1600 °C ในออกซิเจน สนามแม่ เหล็กตั้งฉากกับแกน c มุม **φ** = 0 องศา (VN11\_00)

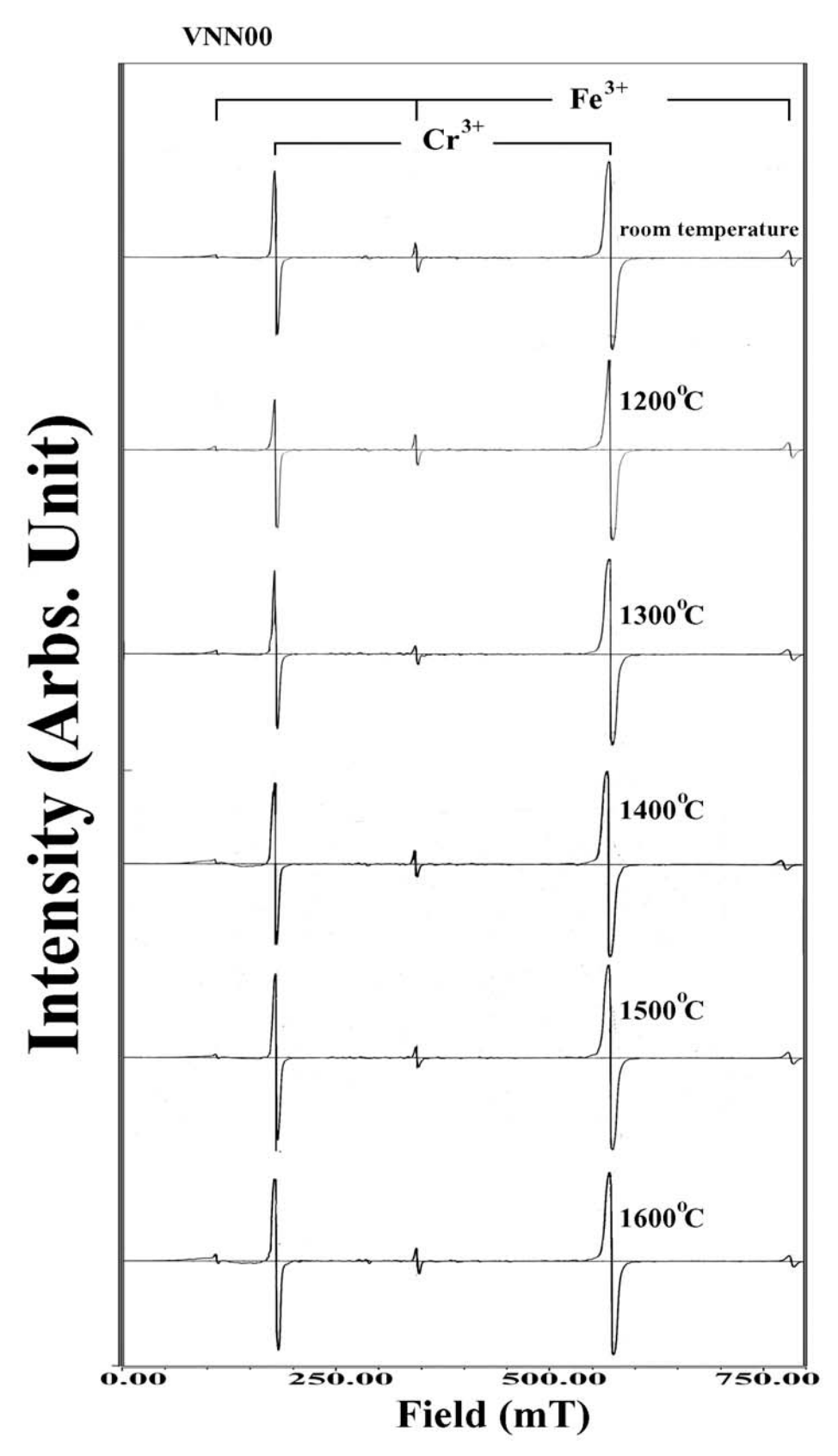


รูปที่ 51 แสดงอัตราส่วน  ${\sf Fe}^{^{3+}}\!/{\sf Fe}^{^{3+}}_{\phantom{^{1}200}}$  และ  ${\sf Cr}^{^{3+}}\!/{\sf Cr}^{^{3+}}_{\phantom{^{1}1200}}$  ของผลึกทับทิมที่เผาอุณหภูมิต่างๆ

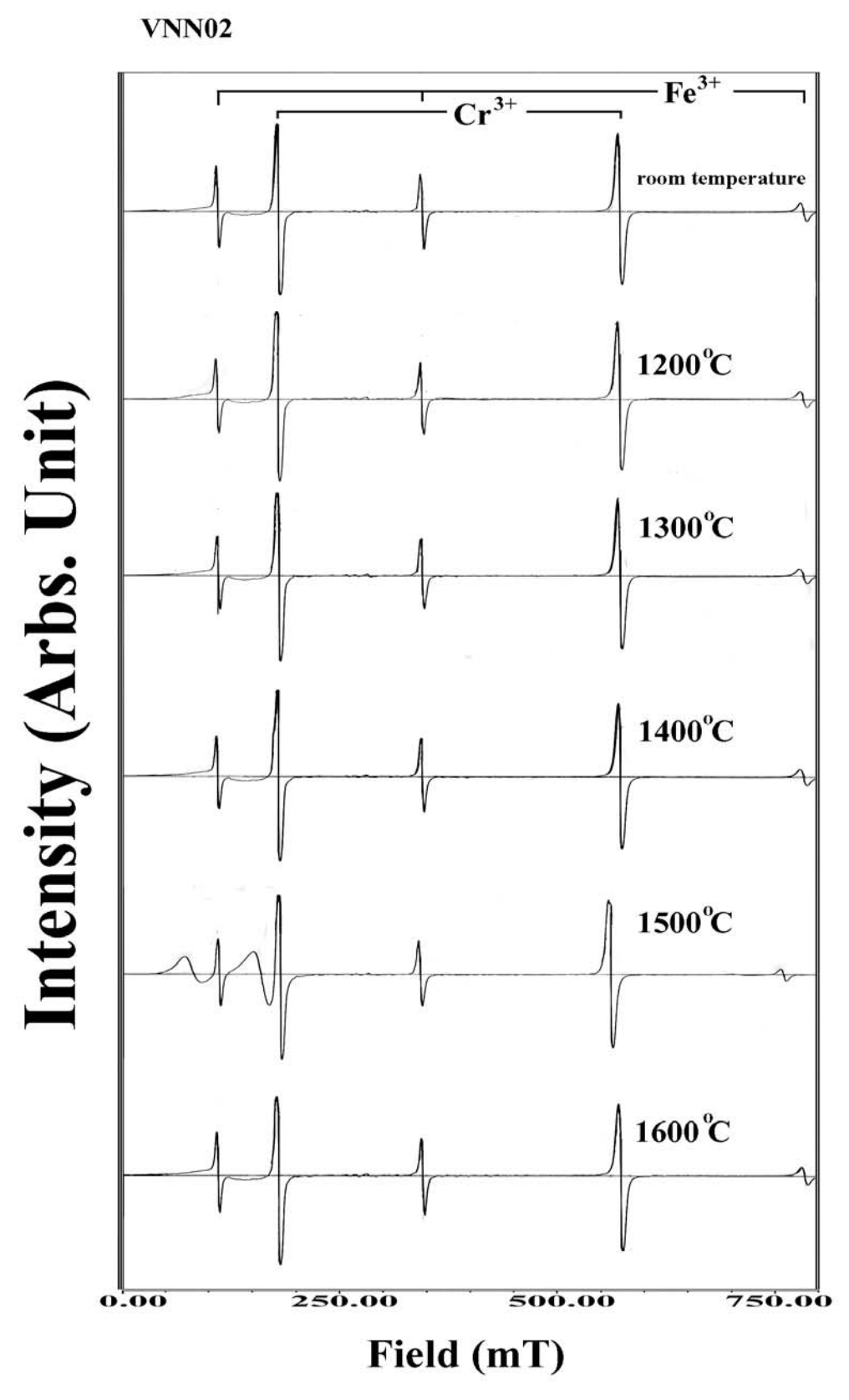


รูปที่ 52 แสดงอัตราส่วนของ Fe³+/Cr³+ ของผลึกทับทิมที่อุณหภูมิต่าง ๆ

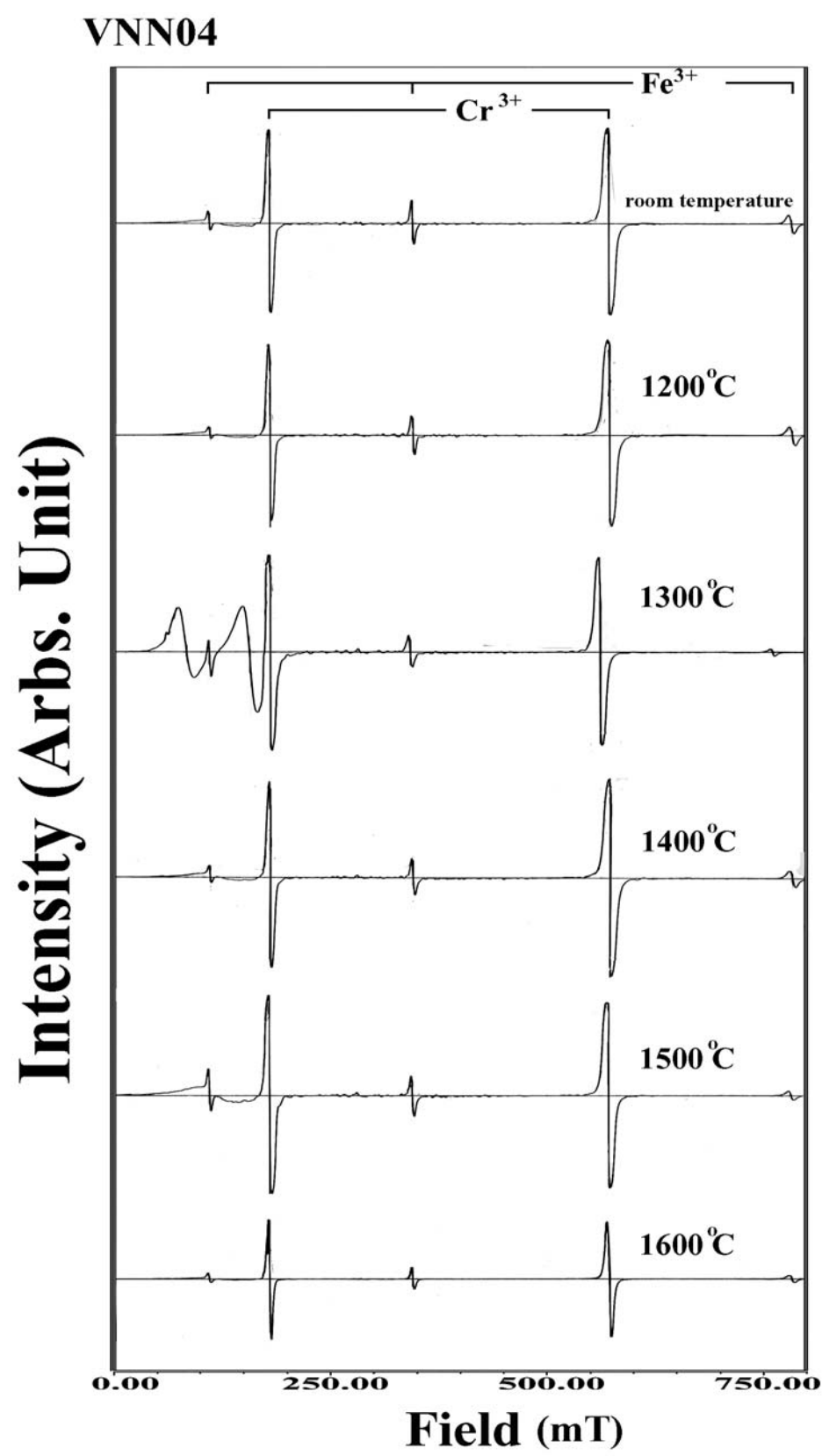
ทับทิมเวียดนามอีก 3 เม็ดที่ทราบระนาบ (0001) ได้นำมาวัด ESR spectrum เมื่อสนามแม่เหล็ก ตั้งฉากกับแกน  $\vec{c}$  มุม  $\theta=90$  องศา มุม  $\phi=0$  องศา ทั้งก่อนเผาและหลังเผาที่อุณหภูมิต่างๆ ตั้งแต่ 1200 –1600 °C ในบรรยากาศออกซิเจน ตามรูปที่ 53-55 ในตัวอย่าง VNN02 และ VNN04 นอกจากมี ESR line positions เฉพาะของ  $\text{Cr}^{3+}$  และ  $\text{Fe}^{3+}$ จะมี ESR line positions ที่ตำแหน่งประมาณ 85 mT และ 158 mT โดย VNN02 เกิดเมื่อเผาที่ 1500 °C ส่วน VNN04 เกิดที่ 1300 °C ซึ่ง Resonance magnetic fields มีค่า g=7.956 และ 4.264 น่าเกิดจาก  $\text{Cr}^{3+}$  และ  $\text{Fe}^{3+}$  ใน Ceramics สีขาวซึ่งเกิดขึ้นในทับทิม หลังการเผาที่อุณหภูมิสูง เพราะลักษณะของการดูดกลืนคลื่นไมโครเวฟเป็นช่วงกว้างซึ่งมาจาก  $\text{Cr}^{3+}$  และ  $\text{Fe}^{3+}$ ที่อยู่ในสภาพโครงสร้างที่ไม่มีระเบียบ เมื่อเผาที่อุณหภูมิสูงขึ้น Ceramics สีขาวจะค่อยๆ หายไป จากการหาพื้นที่ absorption peaks ของ  $\text{Fe}^{3+}$  กับ  $\text{Cr}^{3+}$  ในส่วนโครงสร้างที่เป็นผลึกซึ่งสังเกตได้จากความ คมของ Absorption peak เพื่อติดตามการเปลี่ยนแปลงสีของทับทิมจากอัตราส่วนของ  $\text{Fe}^{3+}/\text{Cr}^{3+}$  ซึ่ง แสดงไว้ในรูปที่ 57, 59 และ 61 อัตราส่วน  $\text{Fe}^{3+}/\text{Cr}^{3+}$  ในตัวอย่าง VNN00 จะต่ำสุดที่ 1500 °C ส่วนตัวอย่าง VNN04 ต่ำสุดที่ 1300 °C ซึ่งเป็นอุณหภูมิที่เผาแล้วได้สีเด่นชัดที่ สุด ดังแสดงในรูปที่ 57, 59 และ 61



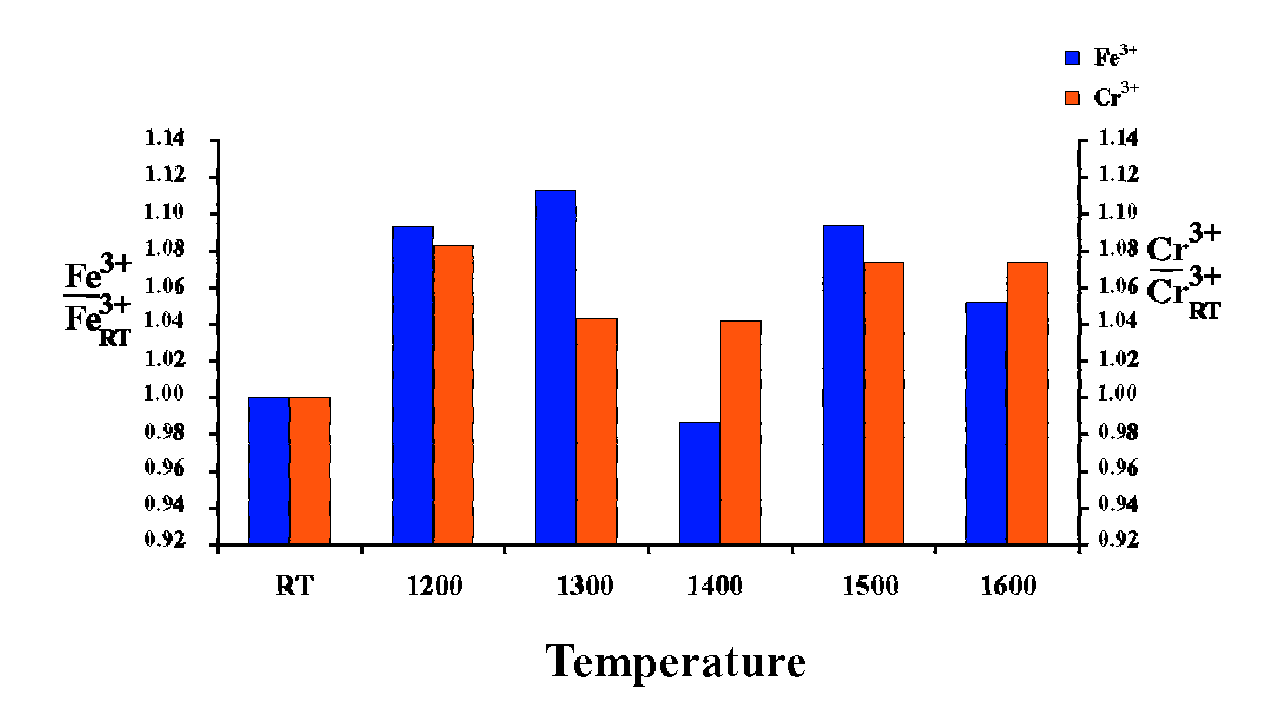
รูปที่ 53 แสดง ESR Spectrum ของผลึกทับทิมก่อนเผาและหลังเผาที่อุณหภูมิต่าง ๆใน ออกซิเจน สนามแม่เหล็กตั้งฉากกับแกน c มุม φ = 0 องศา ของตัวอย่าง VNN00



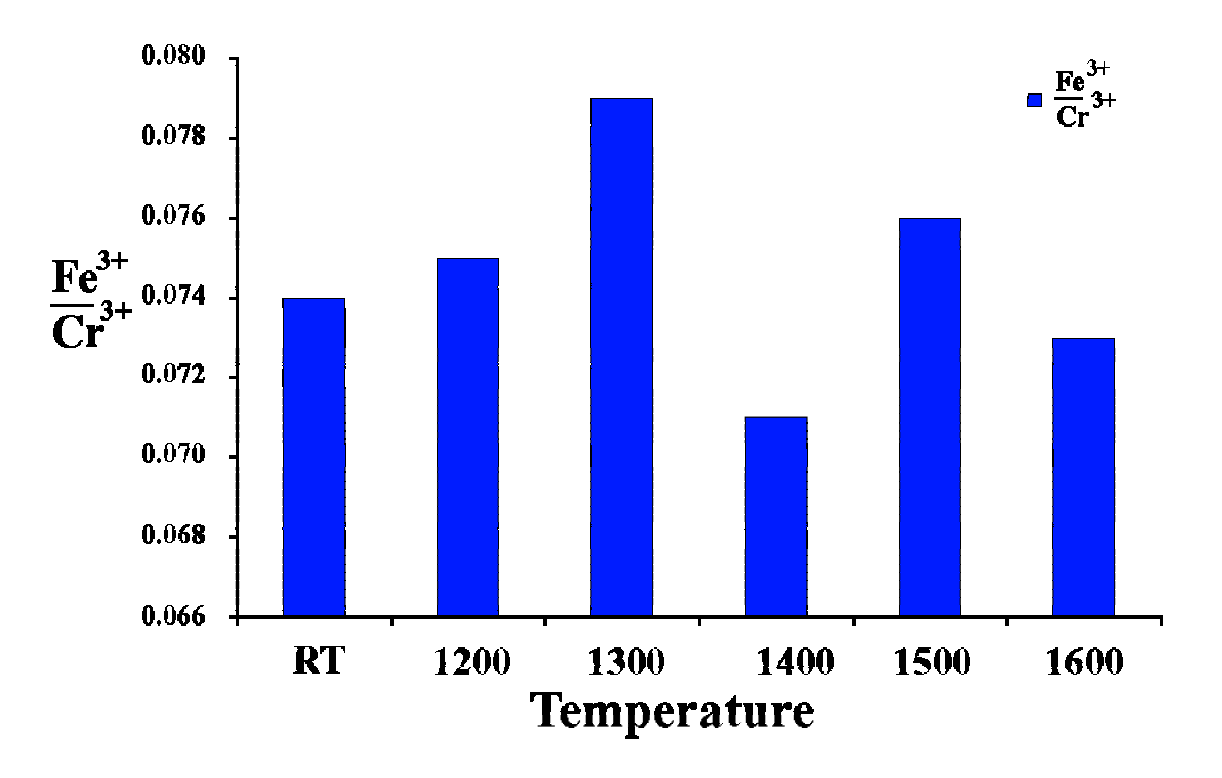
รูปที่ 54 แสดง ESR Spectrum ของผลึกทับทิมก่อนเผาและหลังเผาที่อุณหภูมิต่าง ๆใน ออกซิเจน สนามแม่เหล็กตั้งฉากกับแกน c มุม  $oldsymbol{\phi}$  = 0 องศา ของตัวอย่าง VNN02



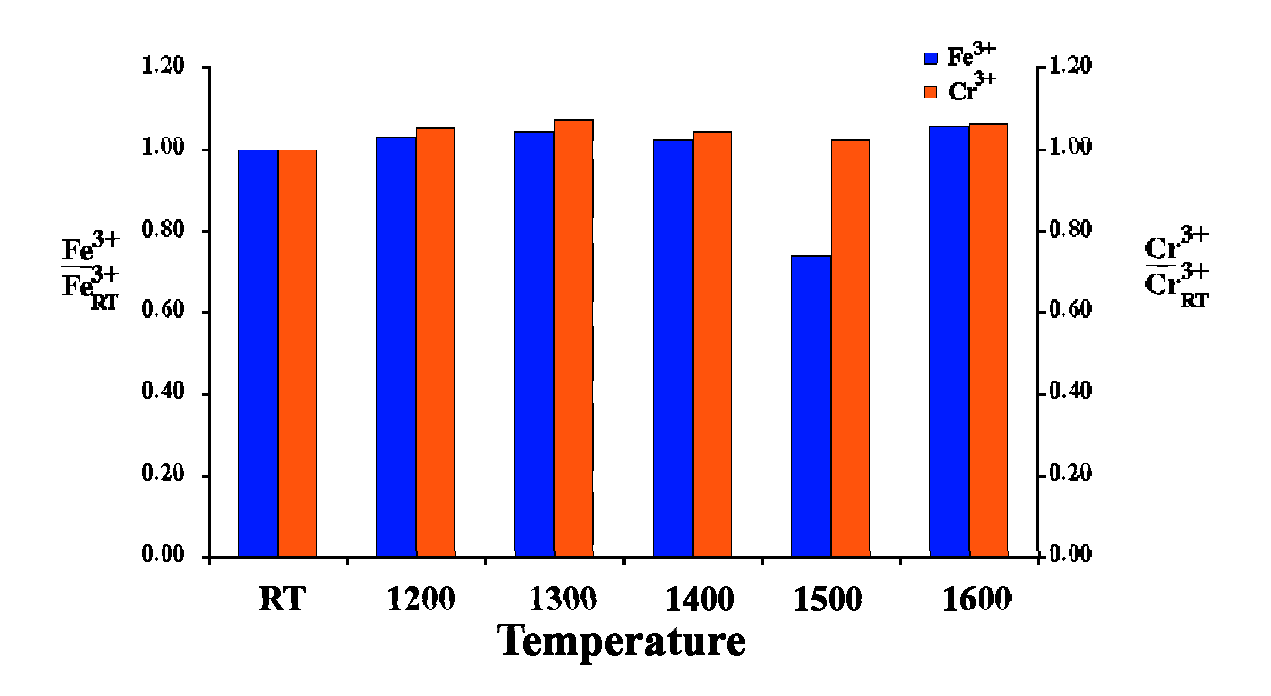
รูปที่ 55 แสดง ESR Spectrum ของผลึกทับทิมก่อนเผาและหลังเผาที่อุณหภูมิต่าง ๆใน ออกซิเจน สนามแม่เหล็กตั้งฉากกับแกน c มุม φ = 0 องศา ของตัวอย่าง VNN04



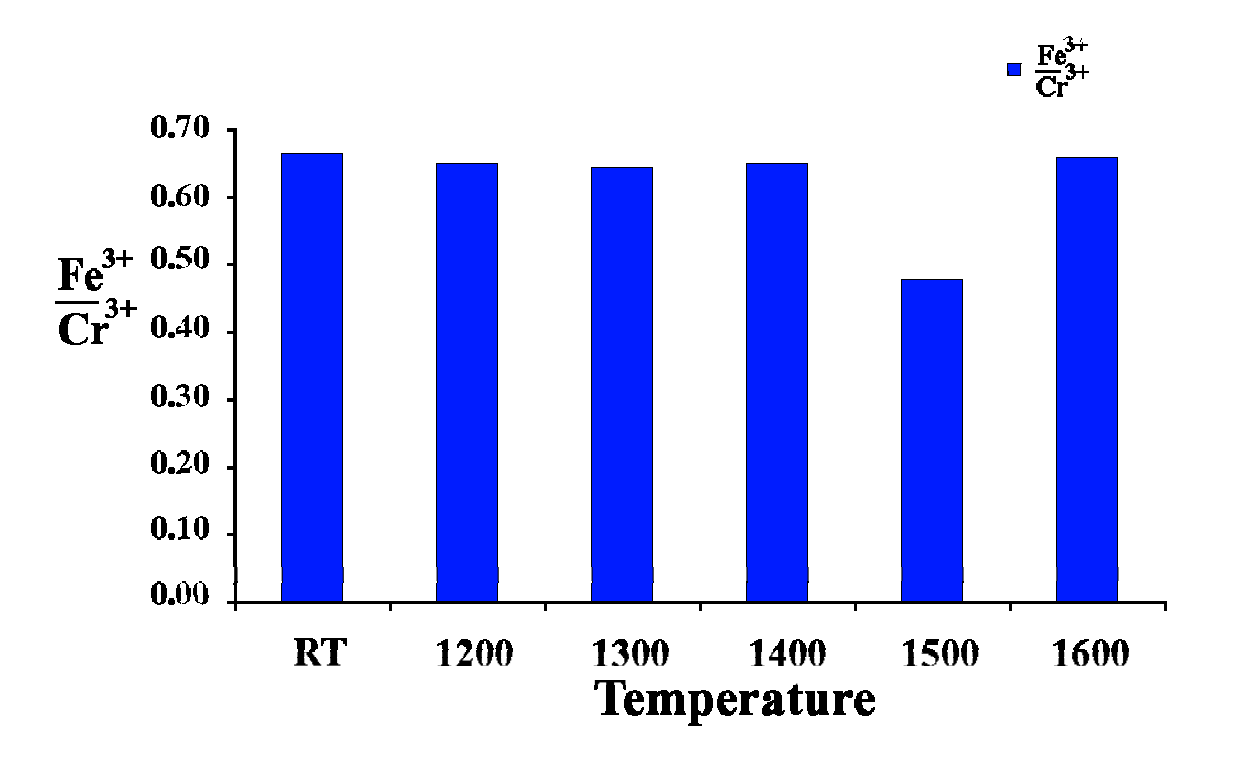
รูปที่ 56 แสดงอัตราส่วน Fe<sup>3+</sup>/Fe<sup>3+</sup> และ Cr<sup>3+</sup>/Cr<sup>3+</sup><sub>RT</sub> ของผลึกทับทิมที่เผาอุณหภูมิต่างๆ ของตัวอย่าง VNN00



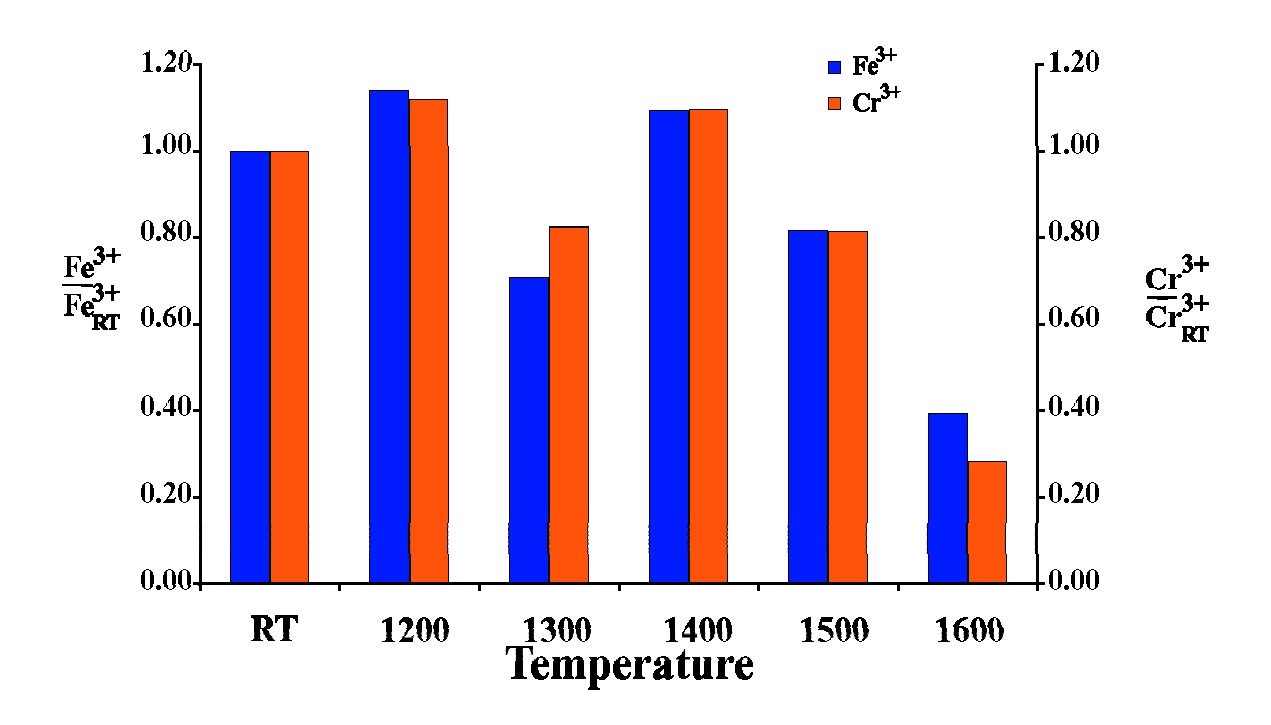
รูปที่ 57 แสดงอัตราส่วนของ Fe³⁺/Cr³⁺ ของผลึกทับทิมที่อุณหภูมิต่าง ๆของตัวอย่าง VNN00



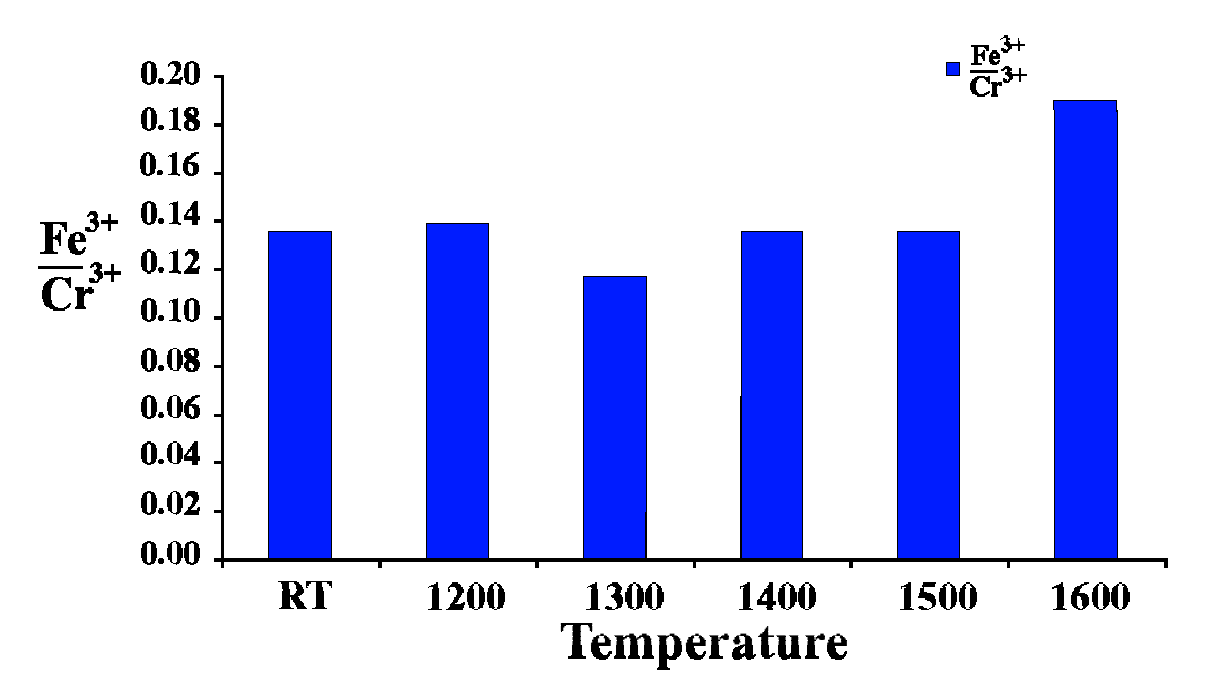
รูปที่ 58 แสดงอัตราส่วน Fe<sup>3+</sup>/Fe<sup>3+</sup><sub>RT</sub> และ Cr<sup>3+</sup>/Cr<sup>3+</sup><sub>RT</sub> ของผลึกทับทิมที่เผาอุณหภูมิต่างๆ ของตัวอย่าง VNN02



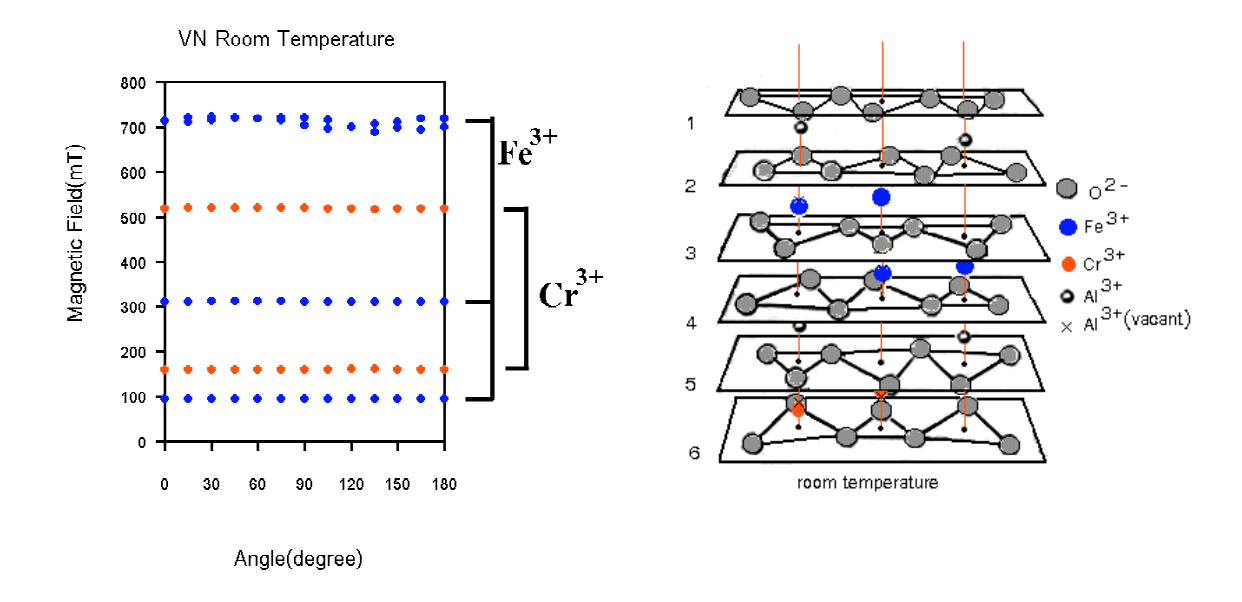
รูปที่ 59 แสดงอัตราส่วนของ Fe³⁺/Cr³⁺ ของผลึกทับทิมที่อุณหภูมิต่าง ๆของตัวอย่าง VNN02



รูปที่ 60 แสดงอัตราส่วน Fe<sup>3+</sup>/Fe<sup>3+</sup> และ Cr<sup>3+</sup>/Cr<sup>3+</sup><sub>RT</sub> ของผลึกทับทิมที่เผาอุณหภูมิต่างๆ ของตัวอย่าง VNN04

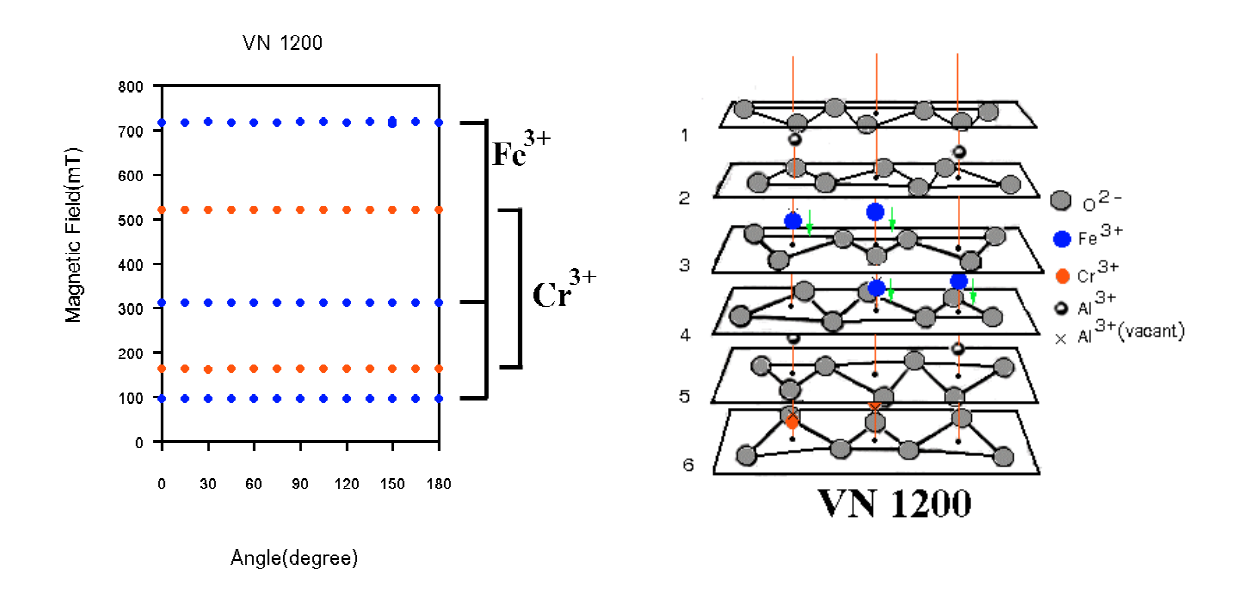


รูปที่ 61 แสดงอัตราส่วนของ Fe<sup>3+</sup>/Cr<sup>3+</sup> ของผลึกทับทิมที่อุณหภูมิต่าง ๆของตัวอย่าง VNN04



ฐปที่ 62 แสดงความสัมพันธ์ H, และ Φ ของทับทิมเวียดนาม

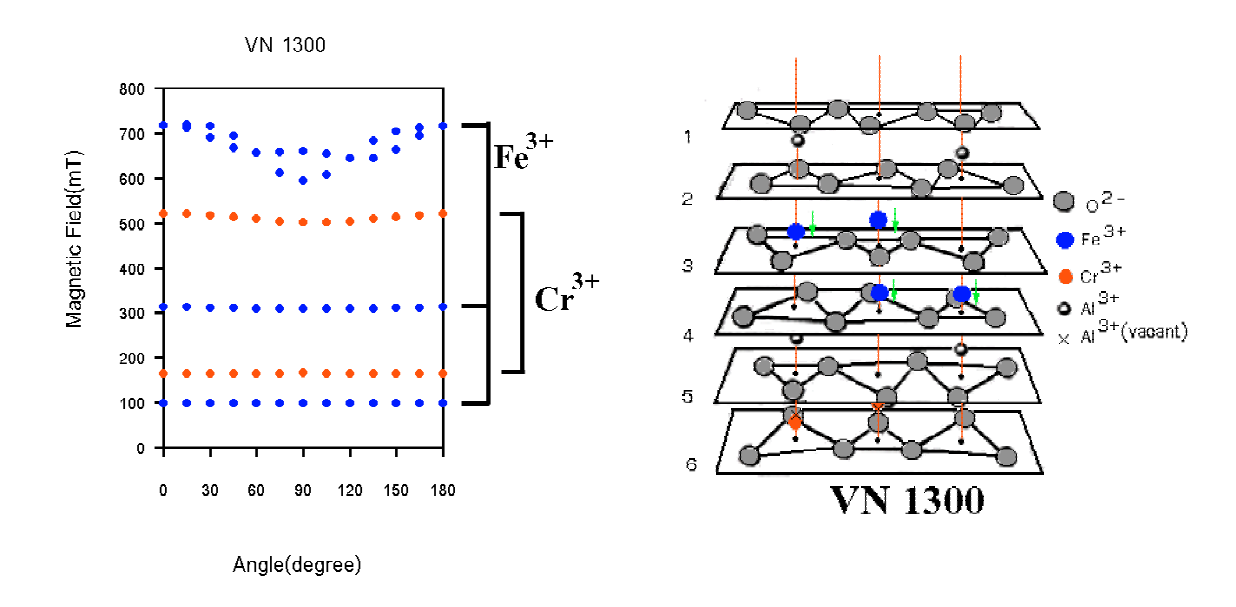
ผลการวิเคราะห์ดังแสดงในรูปที่ 62 ยังแสดงให้เห็นว่าก่อนเผาไอออนเหล็กFe³+มี 2 ตำแหน่ง มี ค่า H, อยู่ระหว่าง 710 ถึง 720 mT โดยที่ค่า H, 2 ชุดนี้ขึ้นกับ  $\cos(3\boldsymbol{\phi})$  มีจุดต่ำสุดของ H, ต่างกัน 60 องศา ส่วนที่ H, ประมาณ 90 mT ไม่ขึ้นอยู่กับมุม  $\boldsymbol{\phi}$  คาดว่าเป็นทรานซิซันจากสภาวะสปิน -1/2 ไป +1/2 ส่วน Resonant absorption peaks ของ  $\mathrm{Cr}^{3+}$  ซึ่งมี 2 ค่าที่ 160 mT และ 519 mT ดังแสดงในรูป ที่ 63 ไม่ขึ้นกับมุม  $\boldsymbol{\phi}$  เนื่องจาก spin ของ  $\mathrm{Cr}^{3+}$  (3d³) มีค่า 3/2 แต่ Cubic Crystal field  $\mathrm{O}_4^3$  จะมีผลต่อ Spin degeneracy เมื่อ spin S $\geq$  2 เมื่อหมุนผลึกทับทิมไปรอบแกน  $\vec{c}$  ตำแหน่งของ ESR absorption peak ไม่ควรมีการเปลี่ยนแปลง แต่จากสเปกตรัมพบว่าบาง Resonant absorption peaks H, ขึ้นกับมุม  $\boldsymbol{\phi}$  เล็กน้อย เนื่องจากในการวางผลึกทับทิม มุมที่แกนสมมาตรของผลึกทับทิมทำกับสนามแม่เหล็กอาจ เบี่ยงเบนไปจาก 90 องศา เล็กน้อย



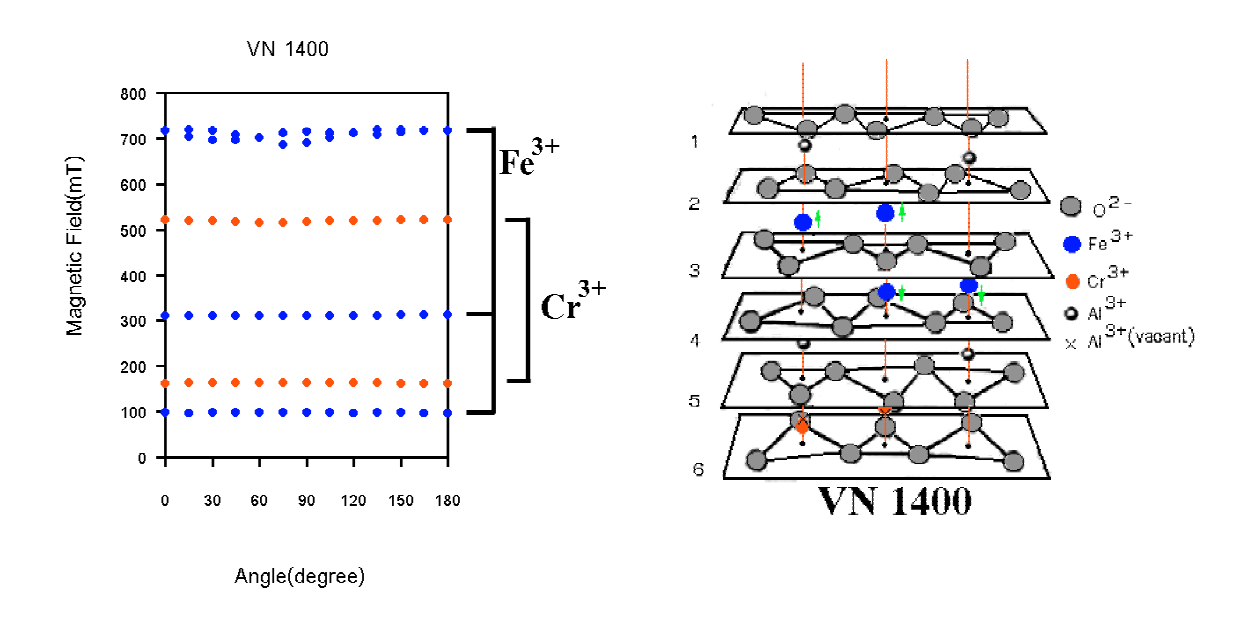
รูปที่ 63 แสดงความสัมพันธ์ H, และ  $oldsymbol{\phi}$  ของทับทิมเวียดนาม หลังเผาในบรรยากาศ ออกซิเจนที่ 1200  $^{\circ}$ C

จากผลการวิเคราะห์ความสัมพันธ์ระหว่าง Resonant absorption peaks H, กับมุม สามารถ สรุปตำแหน่งของ  ${\sf Fe}^{3+}$  และ  ${\sf Cr}^{3+}$  ได้ เมื่อเผาทับทิมที่  $1200^\circ$  C ในบรรยากาศของออกซิเจนเป็นเวลา 12 ชั่วโมงจะพบว่าไอออน  ${\sf Fe}^{3+}$  จะขยับ (Diffuse) ไปจากเดิมตามแนวแกน  $\vec{c}$  มีสมมาตร  ${\sf C}_{3v}$  เมื่อหมุนไป Resonant absorption peaks H, ของ  ${\sf Fe}^{3+}$  ที่ 713 mT ทั้งสองชุดเกือบซ้อนทับกัน ในขณะที่ตำแหน่ง Absorption peaks ของ  ${\sf Cr}^{3+}$  ยังคงใกล้เคียงกับตำแหน่งเดิม ผลการวิเคราะห์โดย ESR แสดงในรูปที่ 63

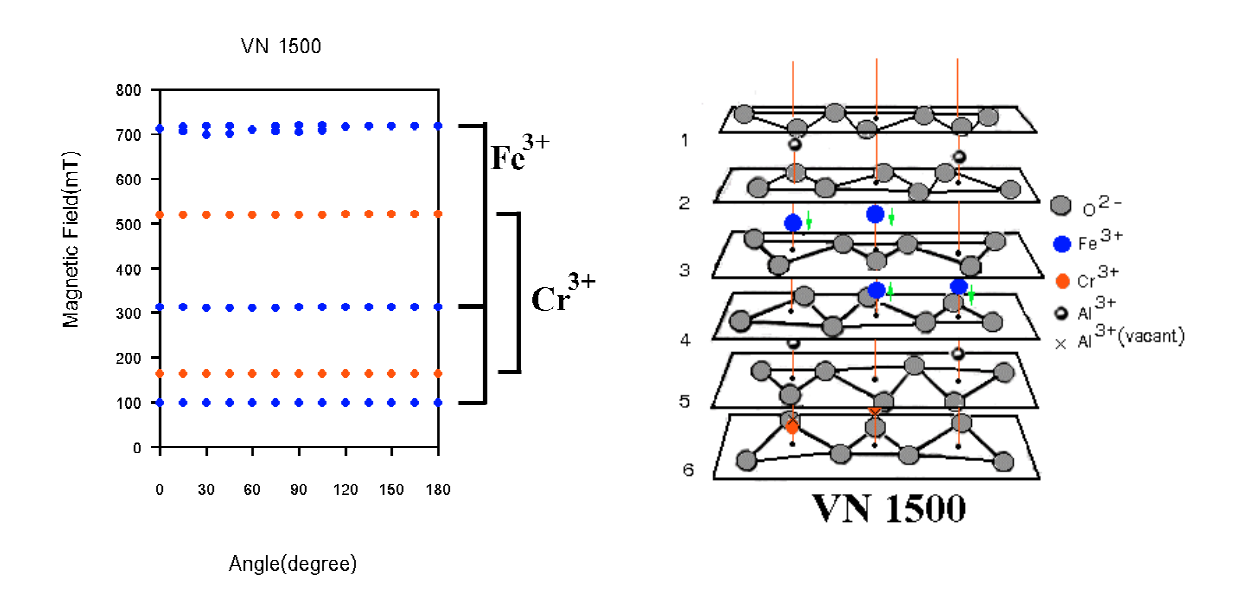
เมื่อน้ำทับทิมเม็ดเดิมมาเผาต่อที่อุณหภูมิ 1300°C ในบรรยากาศออกซิเจนอีก พบว่าไอออน  $Fe^{3+}$  ได้ขยับไปจากตำแหน่งของ  $Al^{3+}$  ทำให้สมมาตรแบบ  $C_{3v}$  เสียไปเมื่อเปรียบเทียบกับก่อนเผา แต่เมื่อเปรียบ เทียบในรายละเอียด จะพบว่าการเปลี่ยนแปลงของ  $H_r$  ของ  $Fe^{3+}$  ที่บริเวณ 580-720 mT มีมากกว่าเดิม ซึ่งแสดงว่าหลังการเผาที่ 1300°C  $Fe^{3+}$  จะเคลื่อนที่ออกจากแกน  $\vec{c}$  จึงทำให้มีสมมาตรระหว่าง  $C_3$ และ  $C_2$  ในขณะที่ Resonant absorption peaks ของ  $Cr^{3+}$  ขึ้นกับ มุมที่หมุนไปเล็กน้อย เนื่องจากการเผาทำ ให้ระนาบ(0001) บิดไปจากเดิม ผลการวิเคราะห์โดย ESR แสดงไว้ในรูปที่ 64 เมื่อเผาที่ 1400 ,1500และ 1600 °C พบว่า  $Fe^{3+}$ จะขยับเข้าใกล้ตำแหน่งของ  $Al^{3+}$ มากขึ้นและมีสมมาตร  $C_{3v}$  ดีขึ้น ตามรูปที่ 65-67



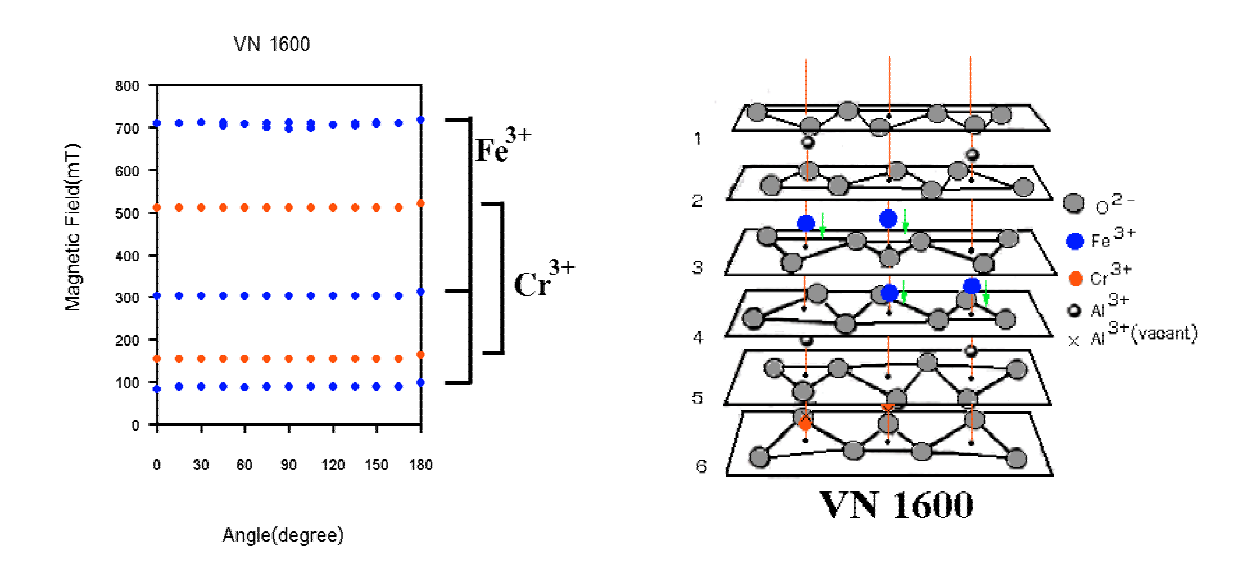
รูปที่ 64 ความสัมพันธ์ระหว่าง H, และ φ ของทับทิมเวียดนามหลัง เผาใน บรรยากาศออกซิเจนที่ 1300 °C



รูปที่ 65 ความสัมพันธ์ระหว่าง H, และ φ ของทับทิมเวียดนามหลัง เผาใน บรรยากาศออกซิเจนที่ 1400 °C



รูปที่ 66 ความสัมพันธ์ระหว่าง Η, และ φ ของทับทิมเวียดนามหลัง เผาใน บรรยากาศออกซิเจนที่ 1500 °C



รูปที่ 67 ความสัมพันธ์ระหว่าง H, และ **φ** ของทับทิมเวียดนามหลัง เผาใน บรรยากาศออกซิเจนที่ 1600 °C

# 3. สรุปผลการวิจัยและวิจารณ์

- 3.1 การวิเคราะห์ทับทิมเวียดนามด้วย EDX จะพบว่าทับทิมนี้มีสีแดงแกมม่วง เนื่องจากว่ามี ปริมาณของเหล็กและไทเทเนียมอยู่เล็กน้อย โดยโมลเปอร์เซ็น ซึ่งจะมีโครเมียมอยู่มากกว่าธาตุทั้ง สอง ธาตุที่หนักกว่า 3d ทรานซิชัน จะต้องใช้ XRF(60 kV, Rh target)
- 3.2 ผลการวิเคราะห์ทาง XRD ก่อนและหลังเผา พบว่าอัตราส่วน c/a ของหน่วยเซลล์ของทับทิม ในตัวอย่างที่ 1 (VNP) มีแนวโน้มลดลงมากที่สุด เมื่อหลังเผาอุณหภูมิที่ 1400 °C ส่วนตัวอย่างที่ 2 (CHN) อัตราส่วน c/a ของหน่วยเซลล์จะลดลงมากที่สุดหลังเผาที่อุณหภูมิ 1500 °C ผลต่างกัน เนื่องจากตัวอย่างที่ 2 กรรมวิธีการเผาต่างกันคือในตัวอย่างนี้ได้เผาถึงอุณหภูมิที่กำหนดโดยตรง ไม่ ได้นำตัวอย่างเดิมมาเผาซ้ำ การเปลี่ยนแปลงของอัตราส่วน c/a ของหน่วยเซลล์จะมีผลต่อสีของ ทับทิมเนื่องจาก Fe³+ และ Cr³+อยู่ภายใต้สนามผลึก (Crystal field)ที่เปลี่ยนไปจากเดิม
- 3.3 จาก CIE L\*a\*b\* Index พบว่าสีม่วงลดลง ทำให้ทับทิมมีสีแดงชัดเจนขึ้น เมื่อเผาที่อุณหภูมิ 1200 °C และ 1300 °C ถ้าเผาต่อไปที่อุณหภูมิสูงขึ้นในบรรยากาศออกซิเจน เป็นเวลา 12 ชั่วโมง จะพบว่าทับทิมตัวอย่าง V1 และ V2 เผาที่ 1500 องศาจะดีที่สุด V3, V4 เผาที่ 1400 องศา V5 เผาที่ 1200 องศา V7, V9 เผาที่อุณหภูมิ 1300 องศา V8 เผาที่ 1500 องศา V11, V12, V15 เผาที่ 1600 องศา V13 เผาที่ 1200 องศา จึงจะให้สีแดงเด่นชัดที่สุด สำหรับ V14 ไม่เห็นความแตกต่าง ของสีหลังการเผาที่อุณหภูมิต่างๆ โดยทั่วไปความสว่าง(lightness) ของทับทิมลดลงเล็กน้อย จึง สรุปได้ว่าผลการเผาทับทิมจะขึ้นอยู่กับอุณหภูมิตั้งต้นที่เผาและตัวอย่างทับทิมที่เผา
- 3.4 UV-Visible spectra วัดก่อนเผาและหลังเผาที่อุณหภูมิ 1200 ,1300 ,1400 , 1500 และ 1600 องศา พบว่ามีการเปลี่ยนแปลงไม่มากนัก
- 3.5 อัตราส่วนของ  $Fe^{3+}$ /  $Cr^{3+}$  เปลี่ยนแปลงตามอุณหภูมิที่เผาโดยค่าน้อยที่สุดของ  $Fe^{3+}$ /  $Cr^{3+}$  จะ เป็นอุณหภูมิที่ให้สีแดงเด่นชัดที่สุด จะพบว่าผลที่ได้จากผงทับทิมและผลึกทับทิมมีค่าต่างกันเพราะ ว่าในผลึกทับทิม  $O^{2-}$  แพร่เข้าไปได้ยากกว่า อัตราส่วนของ  $Fe^{3+}$  /  $Cr^{3+}$ ในผลึกทับทิมเมื่อเผาที่ อุณหภูมิต่างๆจะต่างกันในแต่ละตัวอย่างขึ้นอยู่กับขบวนการการแพร่กระจายของ  $O^{2-}$ เข้าไปในผลึก 3.6 ผลการวิเคราะห์ทับทิมเวียดนามด้วย ESR Spectrometer พบว่าตำแหน่งของ  $Fe^{3+}$  ขยับไป จากเดิมตามแกน  $\vec{c}$  เมื่อเผาที่ 1200 °C และจะขยับขึ้นลงตามแกน  $\vec{c}$  มากที่สุด เมื่อเผาที่อุณหภูมิ 1300 เมื่อเผาที่อุณหภูมิ 1400 1600 °C  $Fe^{3+}$  จะเคลื่อนที่เข้าสู่ตำแหน่งของ  $AI^{3+}$  อีก การเปลี่ยน ตำแหน่งของ  $Fe^{3+}$  ลักษณะนี้ คาดว่าจะมีผลต่อสีของทับทิม เนื่องจาก Crystal Field Effect ที่มา จาก  $O^{2-}$  ทั้ง 6 ตัวรอบของทั้ง  $Fe^{3+}$  และ  $Cr^{3+}$

# 4. เอกสารอ้างอิง

- 1. R.Hughes, Ruby & Sapphire, White Lotus Co.Ltd.(Bangkok) 1990 p.104
- 2. K.Nassau, Gems Made by Man, Chilton Radnor, PA 1980
- A.Freeman and R.Frankel, Hyperfine Interactions, Academic Press, New York 1967
  p 275-278
- 4. A. Abragam and B.Bleaney, *Electron Paramagnetic Resonance of Transition Ions*, Oxford University Press, London, 1970, p 273, 432-3, 451
- 5. J. Weil et al, *Electron Paramagnetic Resonance*, John Wiley & Sons Inc. New York 1994 p. 221
- 6. C. Kittel, *Introduction to Solid State Physics*, 6<sup>th</sup> Edition, John Wiley & Sons Inc. New York 1991 p. 515-525
- 7. N. Nassallah- Aboukais et al, J. Chem. Soc. Faraday Trans. 92 (17) (1996) 3211-3216
- 8. S. Eidels-Dubovoi and V. Beltran-Lopez, J. Mag. Resonance 32 (1978) 441-449
- 9. J. Kilva and J. Purans, *J. Mag.Resonace* <u>40</u> (1980) 33
- 10. J. Pilbrow and C. Wood, *J. Mag. Resonance* <u>34</u> (1979) 113
- 11. T. Themelis, *The Heat Treatment of Ruby and Sapphire*, Word Graphics, Inc.,USA. 1992, p 29.

#### กิตติกรรมประกาศ

คณะนักวิจัยต้องขอแสดงความขอบคุณ มหาวิทยาลัยมหิดล ให้การสนับสนุนด้านเครื่องมือ สถานที่ และ สำนักงานกองทุนสนับสนุนการวิจัย(สกว.) ไว้ ณ ที่นี้ ที่ได้ให้ทุนสนับสนุนโครงการวิจัยนี้สำเร็จลงด้วยดี คณะผู้วิจัยต้องขอขอบคุณ Mr.CAO HUNG TIENบริษัท Technology & Trading Development Corporation ประเทศเวียดนามที่มอบทับทิมเพื่อใช้เป็นตัวอย่างในการวิจัย

### ประวัตินักวิจัย

- ดร.พงศ์ทิพย์ วิโนทัย ตำแหน่งรองศาสตราจารย์ มหาวิทยาลัยมหิดล มีประสบการณ์ทำงาน วิจัยเกี่ยวกับ ESR และ NMR spectroscopy ของทับทิม,ตัวนำยิ่งยวด,สารแม่เหล็ก
- ดร.ไอ มิง ถัง ตำแหน่งศาสตราจารย์(พิเศษ) มหาวิทยาลัยมหิดล มีประสบการณ์ทำงานวิจัย เกี่ยวกับ ESR และ NMR spectroscopy ของทับทิม,ตัวนำยิ่งยวด,สารแม่เหล็ก
- ดร.พิเชษฐ ลิ้มสุวรรณ ตำแหน่งรองศาสตราจารย์ มหาวิทยาลัยเทคโนโลยีพระจอมเกล้าธนบุรี มีประสบการณ์ทำงานวิจับเกี่ยวกับเลเซอร์ และการเคลือบฟิล์มบาง

ภาคผนวก 1 ตารางแสดงผลงานที่จะได้รับจากโครงการ

เดือน	งานวิจัย	ผลงานที่คาดว่าจะได้รับ	นักวิจัยที่รับผิดชอบ
1-6	1.ทดสอบคุณสมบัติของทับทิมเบื้องต้น	แยกคุณภาพของทับทิม	ดร.พิเชษฐ
			ดร.พงศ์ทิพย์
	2. วัด UV-Visible spectra ของทับทิม	วัดและแยกสีทับทิม	ดร.พิเชษฐ
	3. ทำการวิเคราะห์ทับทิมด้วย XRF และ	ทราบองค์ประกอบของ	ดร.พิเชษฐ
	XRD	ทับทิม และ Impurities ที่มี	ดร.พงศ์ทิพย์
		อยู่ในทับทิม สามารถคัด	
		ทับทิมเพื่อเผาในสภาวะที่	
		เหมาะสมได้ และทราบโครง	
		สร้างผลึกของทับทิม	
	4. วัด ESR spectra ของทับทิมก่อนทำการ	ESR spectra ก่อนเผา	ดร.พงศ์ทิพย์
	เผาในช่วง X-band		ดร.ถัง
	5. เผาทับทิมทั้งที่เป็นเม็ดและผงที่อุณหภูมิ	อุณหภูมิ และบรรยากาศที่	ดร.พิเชษฐ
	1200 $^{\circ}$ C ภายใต้บรรยากาศของ $O_2$ หรือ $N_2$	เหมาะสมที่จะเผาทับทิมให้	ดร.ถัง
	เป็นเวลาระหว่าง 4-24 ชั่วโมง	ได้คุณภาพที่ดี	ดร.พงศ์ทิพย์
	6. วัด ESR spectra ของทับทิมทั้งที่เป็นผง	ESR parameters หลังการ	ดร.พงศ์ทิพย์
	และเม็ด ในช่วง X-band	เผาที่ 1200°C	ดร.ถัง
	7. ทำการวิเคราะห์ทับทิมด้วยเครื่อง XRD	การเปลี่ยนแปลงทางโครง	ดร.พิเชษฐ
	หลังการเผาที่ 1200°C	สร้างของผลึกทับทิมหลัง	ดร.ถัง
		การเผา	
	8. วัด UV-Visible spectra ของทับทิมหลัง	การเปลี่ยนสี และความใส	ดร.พิเชษฐ
	การเผา	ของทับทิมหลังการเผา	
	9. สรุป และวิเคราะห์ผลงานวิจัย 6 เดือน	การเปลี่ยนแปลงของสี	ดร.พงศ์ทิพย์
	แรก	ทับทิม และการเปลี่ยน	ดร.พิเชษฐ
		แปลงทางโครงสร้างของ	ดร.ถัง
		ผลึกทับทิมจาก XRD, ESR	
		หลังจากเผาที่ 1200°C	

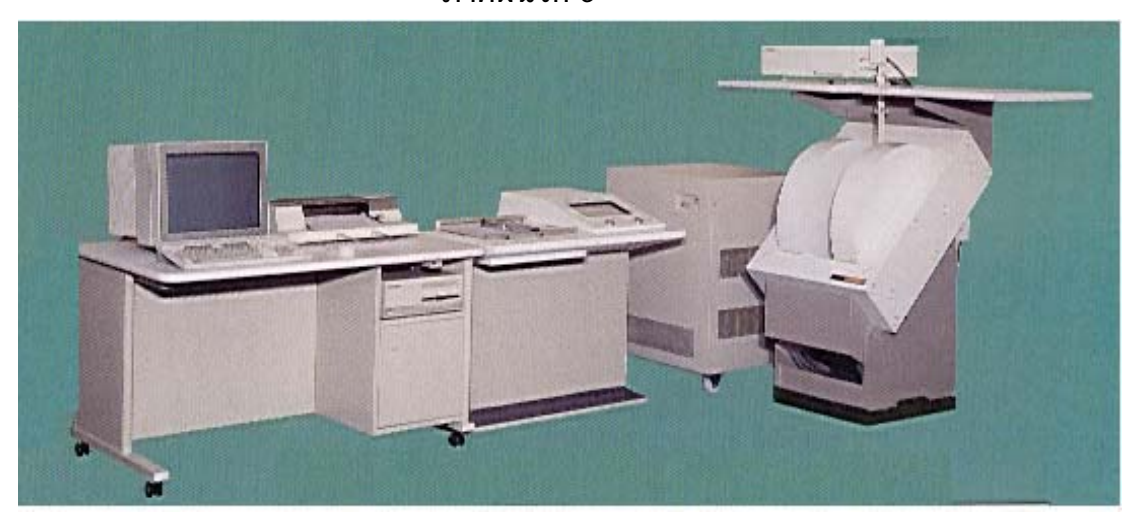
เดือน	งานวิจัย	ผลงานที่คาดว่าจะได้รับ	นักวิจัยที่รับผิดชอบ
7-12	10. เผาทับทิม ในลักษณะเป็นเม็ด และเป็นผง	อุณหภูมิและบรรยากาศ และ	ดร.พิเชษฐ
	ในบรรยากาศของ $O_2$ หรือ $N_2$ ที่อุณหภูมิ	ช่วงเวลาการเผาที่เหมาะสม	ดร.ถัง
	1300°C, 1400°C		ดร.พงศ์ทิพย์
	11. วัด UV-Visible spectra ของทับทิม ที่เผา	การเปลี่ยนสีของทับทิม	ดร.พิเชษฐ
	ที่ 1300°C และ 1400°C		
	12. วิเคราะห์ทับทิมโดย XRD หลังการเผาที่	โครงสร้างของทับทิมหลังการ	ดร.พิเชษฐ
	1300°C และ 1400°C	เผาที่อุณหภูมิ 1300°C และ	
		1400°C	
	13. วัด ESR spectra ของทับทิมที่เผาที่อุณ	ESR parameters	ดร.พงศ์ทิพย์
	ภูมิ 1300°C และ 1400°C ในช่วง X-band		
	14. สรุป และวิเคราะห์ผลงานในรอบ 6 เดือน	การเปลี่ยนแปลงของสีทับทิม	ดร.พงศ์ทิพย์
		เปรียบเทียบกับการเปลี่ยน	ดร.พิเชษฐ
		แปลงทางโครงสร้างของผลึก	
		ทับทิมหลังการเผาที่ 1300°C	
		และ 1400°C	

เดือน	งานวิจัย	ผลงานที่คาดว่าจะได้รับ	นักวิจัยที่รับผิดชอบ
13-18	15. เผาทับทิม ที่อุณหภูมิ 1500°C และ	อุณหภูมิ และบรรยากาศรวม	ดร.พิเชษฐ
	1600°C ในบรรยากาศ O <sub>2</sub> หรือ N <sub>2</sub> เป็นเวลา	ทั้งช่วงเวลาเผาที่เหมาะสม	ดร.พงศ์ทิพย์
	4-24 ชั่วโมง	ให้ได้สีทับทิมที่เหมาะสม	ดร.ถัง
	16. ทำซ้ำตามข้อ 12, 13 และ 14	การเปลี่ยนสีของทับทิม, การ	ดร.พิเชษฐ
		เปลี่ยนแปลงของโครงสร้าง	ดร.พงศ์ทิพย์
		ทับทิมหลังการเผา	ดร.ถัง
	17. สรุป และวิเคราะห์ผลงานวิจัยในรอบ	รายงานผลงานฉบับสมบูรณ์	ดร.พงศ์ทิพย์
	6 เดือน		ดร.พิเชษฐ
			ดร.ถัง

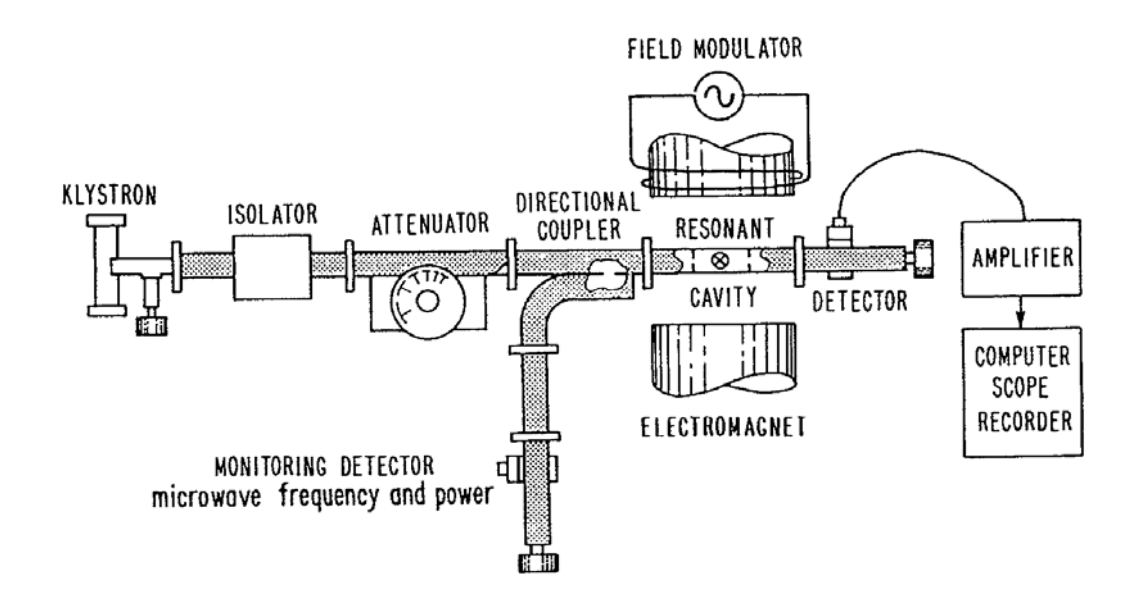
ภาคผนวก 2 รายละเอียดผลการดำเนินงานของโครงการตามแผนงานโดยสรุป

กิจกรรม(ตามแผน)	ผลที่คาดว่าจะได้รับ	ผลการดำเนินงาน	หมายเหตุ
	(ตามแผน)		
1 เผาทับทิม ในลักษณะ	1 อุณหภูมิและ	1 ได้ตามแผนที่วางไว้	เผาถึง 1600 °Cใน
เป็นเม็ด และผง ใน	บรรยากาศและช่วงเวลา		บรรยากาศของ O <sub>2</sub> เท่า
บรรยากาศของ ${\sf O_2}$ หรือ ${\sf N_2}$	การเผาที่เหมาะสม		นั้น เนื่องจากทับทิม
ก่อนและหลังการเผาที่			เวียดนามมีสีแดงแกม
1200°C -1600 °C			ม่วง
2 วัด UV-Visible spectra,	2 การเปลี่ยนสีของทับทิม	2 ได้ตามแผนที่วางไว้	วัดสีทับทิมถึง 1500 °C
สีของทับทิมก่อนและหลัง			เนื่องจากเครื่องวัดสีเสีย
เผาที่ 1200°C-1600 °C			ส่วน UV-Visible
			spectraถึง 1600 °C
3 การวิเคราะห์ทับทิมโดย	3 โครงสร้างของทับทิม	3 ได้ตามแผนที่วางไว้	
XRD ก่อนและ หลังการเผา	หลังการเผาที่อุณหภูมิ		
ที่ 1200 °C -1600 °C.ใน	1200 °C -1600 °C		
บรรยากาศของO <sub>2</sub>			
4 วัด ESR spectra ของ	4 อัตราส่วนของ	4 ได้ตามแผนที่วางไว้	
ทับทิมที่เผาที่ 1200 °C -	Fe <sup>3+</sup> /Fe <sup>3+</sup> <sub>RT</sub> , Cr <sup>3+</sup> /Cr <sup>3+</sup> <sub>RT</sub>		
1600 °C ในช่วง X-band	และFe³+/ Cr³+ หลังเผา		
5 สรุป และวิเคราะห์ผล	5 ความสัมพันธ์ระหว่าง	5 ได้ตามแผนที่วางไว้	
งาน ส่งรายงานฉบับ	การเปลี่ยนสีของทับทิม		
สมบูรณ์	กับการเปลี่ยนแปลงโครง-		
	สร้างของผลึกทับทิมและ		
	Fe <sup>3+</sup> / Cr <sup>3+</sup> หลังการเผาที่		
	1200 °C-1600 °C		
6 ถ่ายทอดเทคโนโลยี			จะดำเนินการต่อไป

### ภาคผนวก 3

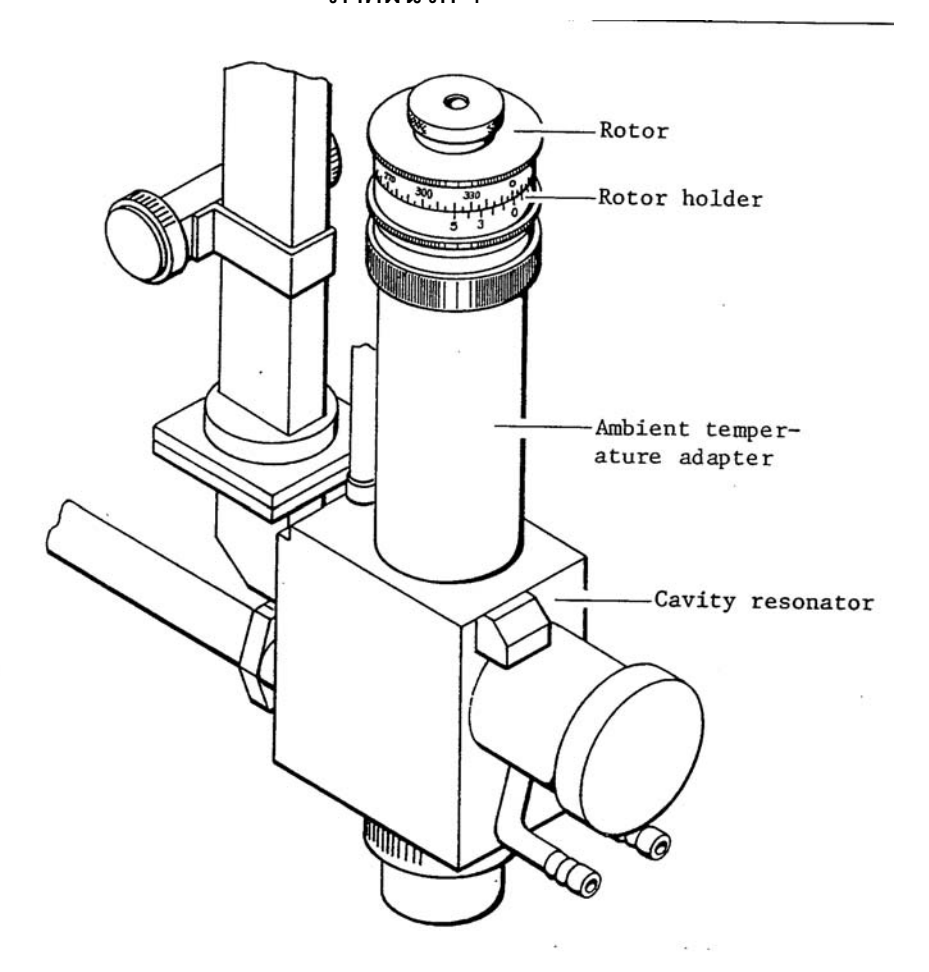


ESR Spectrometer

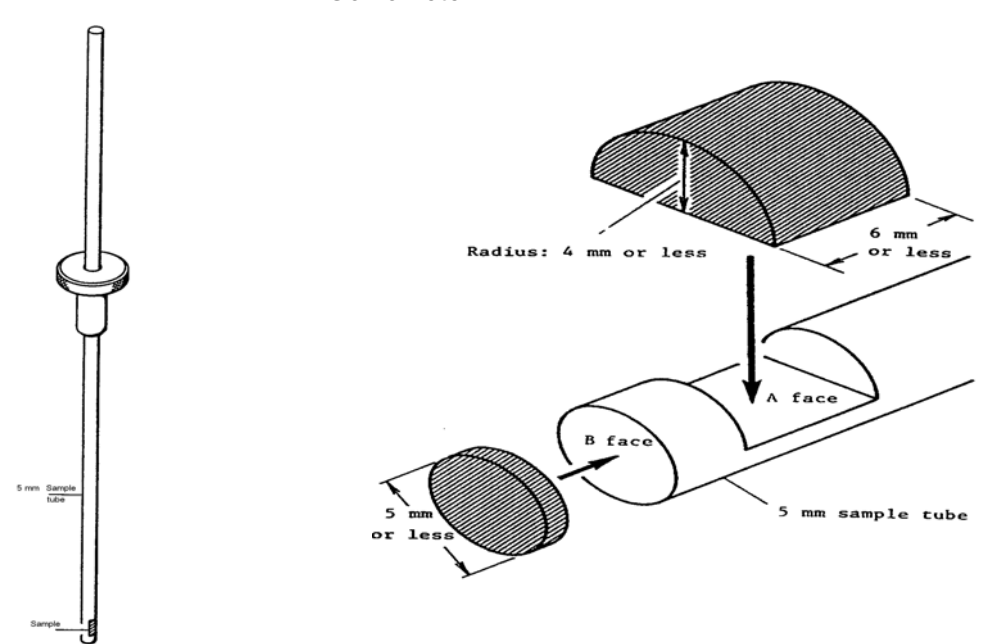


Block Diagram of ESR Spectrometer

# ภาคผนวก 4



# Goniometer



Sample Holder

Loading Sample